

УДК 532.517+532.543

Простая модель для расчета толщины турбулентной пленки жидкости, увлекаемой силой тяжести и потоком газа*

П.И. Гешев

Новосибирский государственный университет,
Институт теплофизики им. С.С. Кутателадзе СО РАН, Новосибирск

E-mail: geshev@itp.nsc.ru

Предложена модель расчета толщины турбулентной пленки, движущейся под действием силы тяжести и касательного напряжения трения газового потока. Использована простейшая аппроксимация турбулентной вязкости, дающая кубический закон затухания в вязком подслое и логарифмическую асимптотику скорости вдали от стенки. Целью работы является построение явных формул для толщины пленки в зависимости от числа Рейнольдса и фактора трения газового потока. Сравнение расчетов по модели с имеющимися в литературе экспериментальными данными показывает, что отклонение максимально при ламинарно-волновых режимах и может достигать 10–20 %.

Ключевые слова: стекающая пленка жидкости, вязкость, сила тяжести, трение потока газа, турбулентность.

Рассмотрим слой жидкости толщины δ , стекающий по вертикальной поверхности с углом относительно горизонта α . К свободной поверхности пленки приложено касательное напряжение трения τ_i , возникающее под действием спутного потока газа. Уравнение для профиля осредненной скорости жидкости в установившемся потоке имеет вид

$$\frac{d}{dy}(v + v_T(y)) \frac{du}{dy} = -g \sin \alpha, \quad (1)$$

где $u(y)$ — профили скорости в пленке, y — координата, перпендикулярная к стенке, g — ускорение силы тяжести, v , v_T — молекулярный и турбулентный коэффициенты вязкости соответственно.

Интегрируя уравнение (1), получаем распределение касательного напряжения трения τ с учетом трения газового потока на поверхности пленки τ_i :

$$\tau = \rho(v + v_T) \frac{du}{dy} = \rho g (\delta - y) \sin \alpha + \tau_i, \quad (2)$$

где ρ — плотность жидкости. Локальное напряжение трения τ линейно распределено по толщине пленки и на стенке при $y = 0$ принимает значение

$$\tau_w = \rho g \delta \sin \alpha + \tau_i. \quad (3)$$

* Работа выполнена при финансовой поддержке Минобрнауки Российской Федерации.

Согласно теории пристенной турбулентности [1], динамическая скорость $v_* = \sqrt{\tau_w / \rho}$ и кинематическая вязкость ν полностью определяют турбулентность в пристенной зоне, то есть амплитуду пульсаций скорости и средний профиль скорости. Используем далее безразмерную координату $\eta = v_* y / \nu$ и скорость $U = u / v_*$ и приведем уравнение (2) к виду

$$\left(1 + \frac{v_T}{\nu}\right) \frac{dU}{d\eta} = \frac{1}{\tau_w} \left[\tau_i + \left(1 - \frac{\eta}{\delta_+}\right) \rho g \delta \sin \alpha \right], \quad (4)$$

где $\delta_+ = v_* \delta / \nu$ — первая безразмерная толщина пленки.

Интегрируя уравнение (4), получаем профиль скорости

$$U = \frac{\rho g \delta \sin \alpha}{\tau_w} \int_0^\eta \frac{(1 - \eta / \delta_+) + F / \delta_-}{1 + \varphi(\eta)} d\eta, \quad (5)$$

где $\delta_- = \delta (g \sin \alpha / \nu^2)^{1/3}$ — вторая безразмерная толщина пленки, $\varphi = v_T / \nu$ — функция, задающая профиль турбулентной вязкости, $F = \tau_i / \rho (g \nu \sin \alpha)^{2/3}$ — фактор трения. Отметим, что безразмерная толщина δ_- непосредственно определяет размерную толщину пленки δ . Первая безразмерная толщина $\delta_+ = v_* \delta / \nu$ является вспомогательной в нашей модели. Она зависит от размерной толщины δ сложным образом, так как входящая в нее скорость $v_* = \sqrt{\tau_w / \rho}$ также содержит δ согласно уравнению (3). Толщины δ_- и δ_+ — безразмерные функции критериев F и $Re = \int_0^\delta u dy / \nu$.

Одна из первых и наиболее полных моделей турбулентной пленки описана в работах [2, 3]. Она основана на уравнениях (1)–(3) и на турбулентной вязкости Прандтля, выражаемой через путь перемешивания l с демпфированием в вязком подслое:

$$v_T = l^2 \frac{du}{dy}, \quad l = \kappa y (1 - e^{-\eta/A}), \quad \kappa = 0,4, \quad A = 26.$$

В работах [2, 3] безразмерная толщина δ_- рассчитана как функция двух переменных: F и Re .

В работе [4] было предложено использовать логарифмический профиль скорости для расчета связи толщины пленки с расходом жидкости, что привело к формуле

$$(3 + 2,5 \ln \delta_+) \delta_+ - 39 = Re, \quad (6)$$

в которой был учтен только вклад логарифмического участка. Этот недостаток был исправлен в работе [5], где был учтен линейный профиль в вязком подслое. Вместо логарифмического профиля скорости вдали от стенки (при $\eta > 24$) здесь была использована степенная аппроксимация $u / v_* = 8,74 \eta^{1/7}$, что привело к формулам

$$\begin{aligned} \delta_+ &= (2 Re)^{1/2}, \quad Re < 290, \\ \delta_+ &= 0,169 Re^{7/8}, \quad Re > 290. \end{aligned} \quad (7)$$

Отметим, что в работах [4, 5] игнорировалось изменение трения τ по толщине пленки, описываемое уравнением (2). Как будет показано далее, действительно, фактор трения F весьма слабо влияет на величину δ_+ .

Цель настоящей работы состоит в том, чтобы, сохранив полноту модели, представленную в работах [2, 3], использовать более простую модель турбулентного переноса и построить явные аналитические формулы для толщин δ_+ и δ_- в зависимости от критериев F и Re .

Турбулентная вязкость определяется как отношение рейнольдсовых напряжений $-\overline{uv}$ к градиенту средней скорости. В вязком подслое градиент скорости постоянен, а две компоненты пульсационных скоростей, входящие в рейнольдсовы напряжения, пропорциональны соответствующим степеням y . Продольная скорость $u \propto y$ (следствие граничного условия прилипания); перпендикулярная к стенке пульсация скорости $v \propto y^2$ (следствие уравнения неразрывности и граничного условия непротекания). Поэтому в зоне вязкого подслоя, при $\eta < 10$, турбулентная вязкость изменяется как $\nu_T \sim \nu \eta^3$ [1, 6, 7]. В следующей за вязким подслоем зоне $25 < \eta < 0,2 \delta_+$ (логарифмическая область) турбулентная вязкость имеет вид: $\nu_T = \kappa \eta$, где $\kappa = 0,4$ — константа Кармана [1, 8]. Поэтому для функции турбулентной вязкости φ можно предложить простую аппроксимацию [7]:

$$\varphi = \eta^3 / (A + B\eta^2), \quad (8)$$

дающую при больших и малых η верные асимптотики.

Очевидно, что $B = 1/\kappa = 2,5$. При $\eta \gg 10$ из интеграла (5) получим логарифмическую асимптотику

$$U = B \ln \eta + C. \quad (9)$$

Положив в формуле (8) $A = 1125$, получаем $C = 5,5$. Это совпадает с известной константой в логарифмической асимптотике профиля скорости Никурадзе [8].

Для вычисления расхода жидкости в пленке проинтегрируем скорость (5) по η от 0 до δ_+ . Это дает число Рейнольдса пленочного течения

$$Re = \int_0^{\delta} \frac{udy}{\nu} = \delta_-^3 \int_0^{\delta_+} d\eta \int_0^{\eta} \frac{F/\delta_- + (1-\eta/\delta_+)}{\delta_+^2(1+\varphi)} d\eta. \quad (10)$$

Преобразуем двукратный интеграл (10) в однократный. Обозначим подынтегральную функцию через ψ и внутренний интеграл символом I : $I(\eta) = \int_0^{\eta} \psi(\xi) d\xi$. Применим к внешнему интегралу в формуле (10) правило интегрирования по частям:

$$\int_0^{\delta_+} I(\eta) d\eta = [\eta I(\eta)]_0^{\delta_+} - \int_0^{\delta_+} \eta \frac{dI(\eta)}{d\eta} d\eta - \int_0^{\delta_+} \eta \psi(\eta) d\eta = \int_0^{\delta_+} (\delta_+ - \eta) \psi(\eta) d\eta$$

и в результате получим

$$Re = \delta_-^2 [Ff_1(\delta_+) + \delta_- f_2(\delta_+)], \quad (11)$$

где функции f_1 и f_2 имеют вид:

$$f_1 = \frac{1}{\delta_+^2} \int_0^{\delta_+} \frac{(\delta_+ - \eta) d\eta}{1 + \varphi}, \quad (12)$$

$$f_2 = \frac{1}{\delta_+^3} \int_0^{\delta_+} \frac{(\delta_+ - \eta)^2 d\eta}{1 + \varphi}. \quad (13)$$

Функции f_1 и f_2 зависят только от δ_+ и от вида функции φ . Для φ , определяемой формулой (8), эти функции показаны на рис. 1.

Две безразмерные толщины δ_+ и δ_- связаны дополнительной формулой

$$\delta_+^2 = \delta_-^2 (F + \delta_-), \quad (14)$$

получаемой из выражения (3) после умножения на $(\delta/\nu)^2/\rho$ и приведения к безразмерному виду.

Формулы (11)–(14) дают в неявном виде зависимость толщин δ_+ и δ_- от критериев Рейнольдса Re и трения F . Результаты расчетов по этим формулам будем далее обозначать как расчеты по точной модели. Наша задача — на основе асимптотик решений модели (11)–(14) построить приближенные явные формулы для расчетов толщин пленки δ_+ и δ_- .

Толщину δ_- найдем из решения кубического уравнения (14) по формуле Кардано [9]:

$$\delta_- = \frac{\delta_+}{\left[0,5\delta_+ + \sqrt{0,25\delta_+^2 - (F/3)^3}\right]^{1/3} + \left[0,5\delta_+ - \sqrt{0,25\delta_+^2 - (F/3)^3}\right]^{1/3}}. \quad (15)$$

Следует отметить, что при значениях параметра $F > 3(\delta_+/2)^{2/3}$ вычисления необходимо проводить в комплексной арифметике. Этого можно избежать, если воспользоваться тригонометрической формой представления комплексных чисел. Тогда при $F > 3(\delta_+/2)^{2/3}$ толщина выражается формулой

$$\delta_- = \frac{\delta_+}{2(F/3)^{1/2} \cos(\theta/3)}, \quad \text{где } \theta = \sin^{-1} \sqrt{1 - \frac{3^3 \delta_+^2}{4F^3}}.$$

Из решения (15) получаем асимптотики при малых и больших F :

$$\begin{aligned} \delta_- &= \delta_+^{2/3} - F/3 \quad (F \ll \delta_+^{2/3}), \\ \delta_- &= \delta_+ / \sqrt{F} \quad (F \gg \delta_+^{2/3}). \end{aligned}$$

Используя эти асимптотики, можно построить приближенное выражение

$$\delta_- = \delta_+^{2/3} \left[\left(1 + \frac{F}{\delta_+^{2/3}}\right)^2 + \left(\frac{F}{\delta_+^{2/3}}\right)^3 \right]^{-1/6}, \quad (16)$$

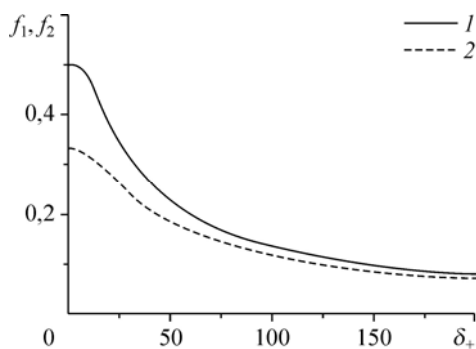


Рис. 1. Зависимость функций f_1 и f_2 от толщины δ_+ .
1 — f_1 , 2 — f_2 .

которое при всех F и δ_+ аппроксимирует решение (15) с точностью порядка 1 % и позволяет избежать обращения к комплексным числам.

Функции f_n , определяемые интегралами (12)–(13), имеют асимптотики при малых и больших δ_+ :

$$f_n = \frac{1}{(n+1)} \left(1 - \frac{1 \cdot 2 \cdot 3 \delta_+^3}{A(n+2)(n+3)(n+4)} \right) \text{ для } \delta_+ \ll 1, \quad (17)$$

$$f_n = \frac{B \ln \delta_+ + C - B(n+1)/2}{\delta_+} \text{ для } \delta_+ \gg 1, \quad (18)$$

где $n = 1$ или 2 для формул (12) и (13) соответственно.

Поделим уравнение (11) на выражение (14) и получим

$$\frac{\text{Re}}{\delta_+^2} = \frac{F f_1 + \delta_- f_2}{F + \delta_-} = \bar{f}. \quad (19)$$

Правая часть в формуле (19) построена как средневзвешенное значение из функций f_1 и f_2 . Как видно из рис. 1, эти две функции при больших числах Рейнольдса имеют весьма близкие асимптотические значения. При малых его значениях ($\text{Re} \ll 10$) из формулы (17) следует: $f_1 = 1/2$ и $f_2 = 1/3$. Для правой части выражения (19) предлагаются аппроксимации

$$\bar{f} = \left[W(F) + 2R \left\langle (\ln(C_0 + R))^2 + 1/R \right\rangle^{-1/2} \right]^{-1}, \quad (20)$$

$$W(F) = \frac{F + \text{Re}^{1/3}}{F/2 + \text{Re}^{1/3}/3}, \quad (21)$$

где функция $W(F)$ учитывает структуру правой части уравнения (19) при малых числах Рейнольдса, $R = \text{Re}/\text{Re}_C$, $\text{Re}_C = 170$ — характерное число Рейнольдса, константа $C_0 = 10$. Вид функций (20), (21) и значения Re_C и C_0 выбраны на основе асимптотик (17)–(18) из условия наилучшего согласования с точной моделью (11)–(14). Из выражений (19) и (20) получаем аппроксимацию для первой толщины пленки δ_+ :

$$\delta_+ = \left\{ \text{Re} \left[W(F) + 2R \left\langle (\ln(C_0 + R))^2 + 1/R \right\rangle^{-1/2} \right] \right\}^{1/2}. \quad (22)$$

Аппроксимации (22) и (16) дают возможность прямого вычисления толщины пленки δ_- в зависимости от расхода жидкости Q , то есть от числа Рейнольдса $\text{Re} = Q/(\rho\nu)$ и от фактора трения на свободной поверхности пленки $F = \tau_i / [\rho(g\nu)^{2/3}]$.

Формулу (22) можно еще упростить, заменив логарифмическое выражение в угловых скобках степенным:

$$\delta_+ = \left\{ \text{Re} \left[W(F) + \left(\frac{\text{Re}}{195} \right)^{0,84} \right] \right\}^{1/2}. \quad (23)$$

Отклонения толщин δ_+ и δ_- , рассчитанных по аппроксимациям (23), (16) и по точной модели (11)–(14), составляют около 5 %, тогда как аппроксимации (22), (16) дают для δ_- в два раза меньшую погрешность — 2 %.

Рассмотрим случай $F = 0$. Для более точной логарифмической аппроксимации из формулы (22) получаем

$$\delta_- = \delta_+^{2/3} = \left\{ \text{Re} \left[3 + 2R \left\langle (\ln(C_0 + R))^2 + 1/R \right\rangle^{-1/2} \right] \right\}^{1/3}. \quad (24)$$

Для случая степенной аппроксимации из выражения (23) имеем

$$\delta_- = \left\{ \text{Re} \left[3 + (\text{Re}/195)^{0,84} \right] \right\}^{1/3},$$

откуда приходим к асимптотике при больших числах Рейнольдса: $\delta_- = 0,228 \text{ Re}^{0,61}$.

На рис. 2а, 2б приведено сравнение толщин пленок δ_+ и δ_- , рассчитанных по точной модели (11)–(14) и по формуле (16) с аппроксимацией (22). Кривые для точной модели и для аппроксимаций визуально сливаются — их отклонение не более 3 % (рис. 2а) и 2 % (рис. 2б) для δ_+ и δ_- соответственно. Интересно отметить, что вспомогательная величина δ_+ действительно весьма слабо зависит от фактора трения F .

Рассмотрим предельные случаи нулевого и большого приложенного касательного напряжения газового потока. На рис. 3 приведено сравнение расчетных и экспериментальных толщин пленок воды, стекающих по вертикальной поверхности [10], и пленок силиконового масла, стекающих по наклонной поверхности [11]. В этих экспериментах жидкость стекала только под действием силы тяжести, поэтому $F = 0$. Формула, обобщающая результаты эксперимента [11], имеет вид:

$$\delta_- = 1 + 0,615 \text{ Re}^{0,47}, \quad 2 < \text{Re} < 700. \quad (25)$$

Как видно из рис. 3, формула (25) хорошо согласуется с данными работы [10]. Однако случай малых чисел Рейнольдса описывается выражением (25) неудовлетворительно, не согласуясь с классической формулой Нуссельта — $\delta = (3 \text{ Re})^{1/3}$. Видно также, что экспериментальные толщины пленок жидкости несколько меньше рассчитанных по модели (11)–(14). Причина того, что толщина пленки при волновых режимах оказывается меньше нуссельтовской, заключается в волнах большой амплитуды [10]. Амплитуды таких

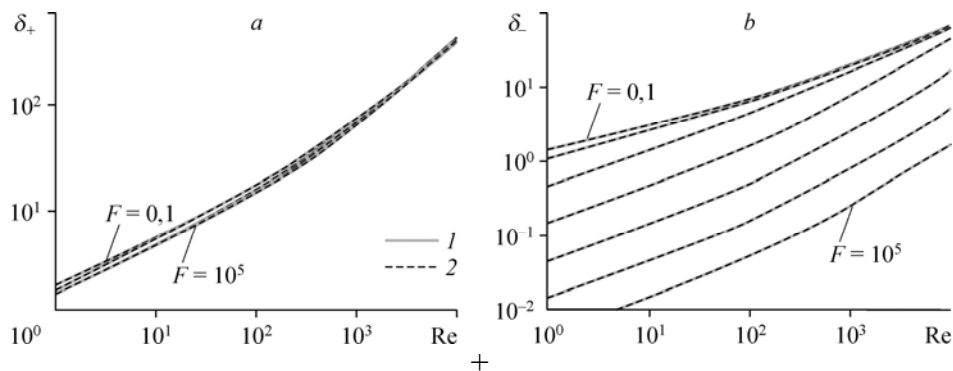


Рис. 2. Сравнение толщин δ_+ (а) и δ_- (б), рассчитанных по точной модели (11)–(14) и по формулам (16), (22).

1 — расчет по модели, 2 — расчет по формулам.

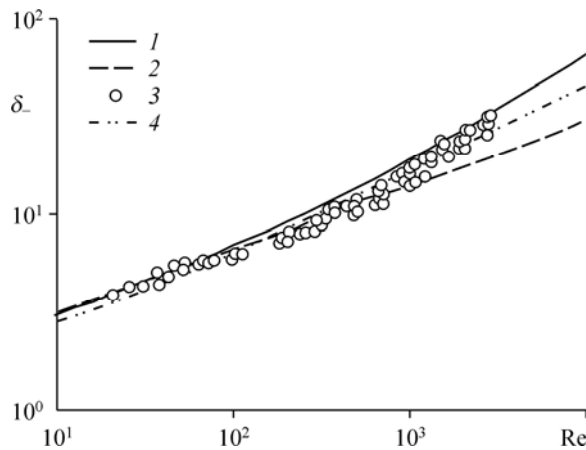


Рис. 3. Сравнение рассчитанных толщин по формуле (24) и по формуле Нуссельта с экспериментальными данными [10, 11].

1 — расчет по модели при $F = 0$, 2 — расчет по формуле Нуссельта, экспериментальные данные: 3 — работа [10], 4 — работа [11].

волн могут быть больше средней толщины пленки.

На рис. 4 приведено сравнение расчетных данных по модели (11)–(14) и по формулам (6), (7) с экспериментальными величинами из работы [12] (корреляция (26)) для пленок в восходящем кольцевом воздушно-водяном потоке при очень больших факторах трения $F \gg 1$.

Экспериментально измеренные толщины пленок жидкости, показанные точками на рис. 4, рассчитаны по формуле из работы [12]:

$$\delta_+ = \left[(0,78 \text{ Re}^{0,6})^{2,5} + (0,13 \text{ Re}^{0,9})^{2,5} \right]^{0,4}. \quad (26)$$

В формуле (26) коэффициенты пересчитаны, так как числа Рейнольдса в настоящей работе определены через локальный удельный расход и не содержат коэффициента 4, используемого в [12]. Эти толщины при числах Рейнольдса $\text{Re} < 100$ заметно меньше рассчитанных по модели (11)–(14). Данное различие опять объясняется волнами большой амплитуды, наблюдавшимися в восходящем кольцевом газожидкостном потоке [12]. Интересно отметить, что хотя с ростом числа Рейнольдса и переходом к турбулентному

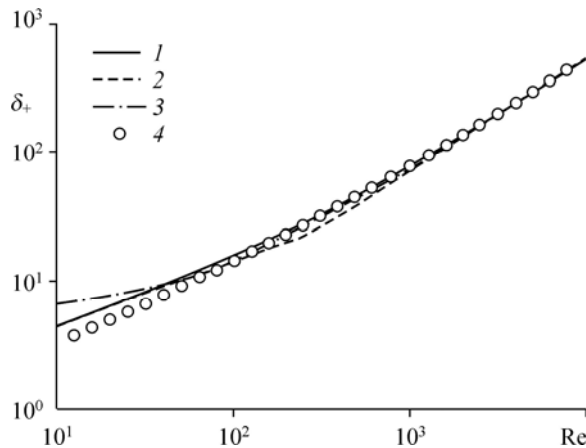


Рис. 4. Сравнение рассчитанных толщин пленки по модели (11)–(14) и результатам работ [4, 5] с экспериментальными данными, рассчитанными по корреляции (26) из работы [12].

1 — расчет по модели при $F \gg 1$, расчет по формулам: 2 — из работы [5], 3 — из работы [4]; 4 — экспериментальные данные [12].

режиму амплитуда волн не уменьшается, их влияние на толщину пленки исчезает. Можно заключить, что чем сильнее заполнен профиль скорости, тем меньше влияние больших волн на среднюю толщину пленки. При параметрах $Re < 100$ и $F \gg 1$ профиль скорости линеен и влияние больших волн максимально велико.

В заключение приведем построенную зависимость безразмерной толщины пленки $\delta_- = \delta(g \sin \alpha / \nu^2)^{1/3}$ от фактора трения F и числа Рейнольдса Re :

$$\delta_- = \frac{\delta_+}{\left[(\delta_+ + F\delta_+^{1/3})^2 + F^3 \right]^{1/6}}, \quad (27)$$

$$\delta_+ = \left\{ Re \left[\frac{F + Re^{1/3}}{0,5F + 0,333 Re^{1/3}} + \frac{2 Re/170}{\sqrt{[\ln(10 + Re/170)]^2 + 170/Re}} \right] \right\}^{1/2}. \quad (28)$$

Аппроксимация (27), (28) дает толщины δ_- , отклоняющиеся от точной модели не более чем на 2 %.

Рассмотрим отдельно два случая: а) пленка на вертикальной поверхности ($F = 0$, $\alpha = \pi/2$); б) пленка, увлекаемая потоком газа вдоль горизонтальной поверхности ($\alpha = 0$, $F = \infty$). Из формул (27)–(28) получаем для размерной толщины пленки:

$$a) \quad \delta = \left\{ \frac{\nu^2}{g} Re \left[3 + \frac{2 Re/170}{\sqrt{[\ln(10 + Re/170)]^2 + 170/Re}} \right] \right\}^{1/3},$$

$$b) \quad \delta = \nu \left\{ \frac{\rho}{\tau_i} Re \left[2 + \frac{2 Re/170}{\sqrt{[\ln(10 + Re/170)]^2 + 170/Re}} \right] \right\}^{1/2}.$$

В дальнейшем планируется построить аналогичные явные формулы для описания теплообмена в процессах испарения и конденсации в стекающих пленках жидкости.

Список литературы

1. Ландау Л.Д., Лифшиц Е.М. Гидродинамика. М. Наука, 1986. 733 с.
2. Dukler A.E. Fluid mechanics and heat transfer in vertical falling-film system // Chem. Engng Prog. Symp. Ser. 1960. Vol. 56, No. 30. P. 1–10.
3. Dukler A.E., Wicks M. III. Gas-liquid flow in conduits // Modern Chemical Engng. 1963. Vol. 1. Physical Operations / Ed. by A. Acrivos, Chapt. 8. N.Y.: Reinhold. 87 p.
4. Кутателадзе С.С. Основы теории теплообмена. М.: Атомиздат, 1979. 415 с.
5. Kosky P.G. Thin-liquid films under simultaneous shear and gravity forces // Int. J. Heat Mass Transfer. 1971. Vol. 14, No. 8. P. 1220–1224.
6. Гешев П.И. Характеристики коэффициентов турбулентного обмена в вязком подслое // Прикладная механика и техническая физика. 1974. № 2. С. 61–66.
7. Гешев П.И. Линейная модель пристенного турбулентного переноса. Новосибирск, 1981. 40 с. (Препринт / СО АН СССР. Ин-т теплофизики. Изд. ИТ, № 73–81).
8. Шлихтинг Г. Теория пограничного слоя. М.: Наука, 1974. 711 с.
9. Корн Г., Корн Т. Справочник по математике. М.: Наука, 1970. 720 с.
10. Алексеев С.В., Накоряков В.Е., Покусаев Б.Г. Волновое течение пленок жидкости. Новосибирск: Наука, 1992. 256 с.
11. Lele V.V., Al-Sibai F., Leefken A., Renz U. Local thickness and wave velocity measurement of wavy films with a chromatic confocal imaging method and a fluorescence intensity technique // Experiments in Fluids. 2005. Vol. 39. P. 856–864.
12. Asali J.C., Hanratty T.J., Andreussi P. Interfacial drag and film height for vertical annular flow // AIChE J., 1985. Vol. 31, No. 6. P. 895–902.

Статья поступила в редакцию 5 ноября 2013 г.